

Starkniederschlagshöhen und -spenden gemäß KOSTRA-DWD-2010R

Auswertungszeitraum von 1951 - 2010, Januar - Dezember

Rasterfeld: 21040

Zeile: 21

Spalte: 40

Seite: 1/2

| Dauerstufe D | | Wiederkehrzeit T | | | | | | | | | | | | | | | | | |
|--------------|-----|------------------|------------|------|------------|------|------------|------|------------|------|------------|------|------------|------|------------|------|------------|-------|------------|
| | | 1 a | | 2 a | | 3 a | | 5 a | | 10 a | | 20 a | | 30 a | | 50 a | | 100 a | |
| min | Std | mm | l / (s ha) | mm | l / (s ha) | mm | l / (s ha) | mm | l / (s ha) | mm | l / (s ha) | mm | l / (s ha) | mm | l / (s ha) | mm | l / (s ha) | mm | l / (s ha) |
| 5 | | 4,6 | 153,3 | 5,8 | 193,3 | 6,5 | 216,7 | 7,5 | 250,0 | 8,7 | 290,0 | 9,9 | 330,0 | 10,7 | 356,7 | 11,6 | 386,7 | 12,8 | 426,7 |
| 10 | | 7,2 | 120,0 | 9,0 | 150,0 | 10,0 | 166,7 | 11,3 | 188,3 | 13,0 | 216,7 | 14,8 | 246,7 | 15,8 | 263,3 | 17,1 | 285,0 | 18,9 | 315,0 |
| 15 | | 8,9 | 98,9 | 11,1 | 123,3 | 12,3 | 136,7 | 13,9 | 154,4 | 16,0 | 177,8 | 18,2 | 202,2 | 19,5 | 216,7 | 21,0 | 233,3 | 23,2 | 257,8 |
| 20 | | 10,1 | 84,2 | 12,6 | 105,0 | 14,0 | 116,7 | 15,9 | 132,5 | 18,4 | 153,3 | 20,8 | 173,3 | 22,3 | 185,8 | 24,1 | 200,8 | 26,6 | 221,7 |
| 30 | | 11,7 | 65,0 | 14,7 | 81,7 | 16,5 | 91,7 | 18,7 | 103,9 | 21,8 | 121,1 | 24,8 | 137,8 | 26,6 | 147,8 | 28,8 | 160,0 | 31,9 | 177,2 |
| 45 | | 13,0 | 48,1 | 16,7 | 61,9 | 18,9 | 70,0 | 21,7 | 80,4 | 25,4 | 94,1 | 29,1 | 107,8 | 31,3 | 115,9 | 34,0 | 125,9 | 37,8 | 140,0 |
| 60 | | 13,8 | 38,3 | 18,1 | 50,3 | 20,6 | 57,2 | 23,8 | 66,1 | 28,1 | 78,1 | 32,4 | 90,0 | 34,9 | 96,9 | 38,1 | 105,8 | 42,4 | 117,8 |
| 90 | | 15,5 | 28,7 | 20,0 | 37,0 | 22,7 | 42,0 | 26,1 | 48,3 | 30,7 | 56,9 | 35,2 | 65,2 | 37,9 | 70,2 | 41,3 | 76,5 | 45,8 | 84,8 |
| 120 | 2 | 16,8 | 23,3 | 21,6 | 30,0 | 24,3 | 33,8 | 27,9 | 38,8 | 32,6 | 45,3 | 37,4 | 51,9 | 40,2 | 55,8 | 43,7 | 60,7 | 48,5 | 67,4 |
| 180 | 3 | 18,8 | 17,4 | 23,9 | 22,1 | 26,9 | 24,9 | 30,6 | 28,3 | 35,7 | 33,1 | 40,7 | 37,7 | 43,7 | 40,5 | 47,4 | 43,9 | 52,5 | 48,6 |
| 240 | 4 | 20,4 | 14,2 | 25,7 | 17,8 | 28,8 | 20,0 | 32,7 | 22,7 | 38,0 | 26,4 | 43,3 | 30,1 | 46,4 | 32,2 | 50,3 | 34,9 | 55,5 | 38,5 |
| 360 | 6 | 22,9 | 10,6 | 28,5 | 13,2 | 31,8 | 14,7 | 35,9 | 16,6 | 41,6 | 19,3 | 47,2 | 21,9 | 50,5 | 23,4 | 54,6 | 25,3 | 60,2 | 27,9 |
| 540 | 9 | 25,7 | 7,9 | 31,6 | 9,8 | 35,1 | 10,8 | 39,5 | 12,2 | 45,5 | 14,0 | 51,5 | 15,9 | 54,9 | 16,9 | 59,3 | 18,3 | 65,3 | 20,2 |
| 720 | 12 | 27,9 | 6,5 | 34,1 | 7,9 | 37,7 | 8,7 | 42,3 | 9,8 | 48,5 | 11,2 | 54,8 | 12,7 | 58,4 | 13,5 | 63,0 | 14,6 | 69,2 | 16,0 |
| 1080 | 18 | 31,3 | 4,8 | 37,9 | 5,8 | 41,7 | 6,4 | 46,6 | 7,2 | 53,2 | 8,2 | 59,8 | 9,2 | 63,7 | 9,8 | 68,5 | 10,6 | 75,1 | 11,6 |
| 1440 | 24 | 33,9 | 3,9 | 40,8 | 4,7 | 44,8 | 5,2 | 49,9 | 5,8 | 56,8 | 6,6 | 63,7 | 7,4 | 67,7 | 7,8 | 72,8 | 8,4 | 79,7 | 9,2 |
| 2880 | 48 | 41,9 | 2,4 | 50,3 | 2,9 | 55,2 | 3,2 | 61,4 | 3,6 | 69,8 | 4,0 | 78,2 | 4,5 | 83,1 | 4,8 | 89,3 | 5,2 | 97,7 | 5,7 |
| 4320 | 72 | 47,4 | 1,8 | 56,7 | 2,2 | 62,1 | 2,4 | 68,9 | 2,7 | 78,2 | 3,0 | 87,5 | 3,4 | 92,9 | 3,6 | 99,7 | 3,8 | 109,0 | 4,2 |

Angaben in mm: Bemessungsniederschlagswerte h(n)

Angaben in l / (s ha): Regenspende R(n) mit $R(n) = h(n) \times 1,666667 / D[\text{min}]$

Toleranzbereiche:

+/- 10 % für $1 \text{ a} \leq T \leq 5 \text{ a}$

+/- 15 % für $5 \text{ a} < T \leq 50 \text{ a}$

+/- 20 % für $50 \text{ a} < T \leq 100 \text{ a}$

Datenbasis: KOSTRA-DWD-2010R des Deutschen Wetterdienstes. Die Regenspende wurde auf Basis des Bemessungsniederschlags zur jeweiligen Andauer berechnet.

Für die Richtigkeit und Aktualität der Angaben wird keine Gewähr übernommen. Erstellt 07/2022.

Starkniederschlagshöhen und -spenden gemäß KOSTRA-DWD-2010R

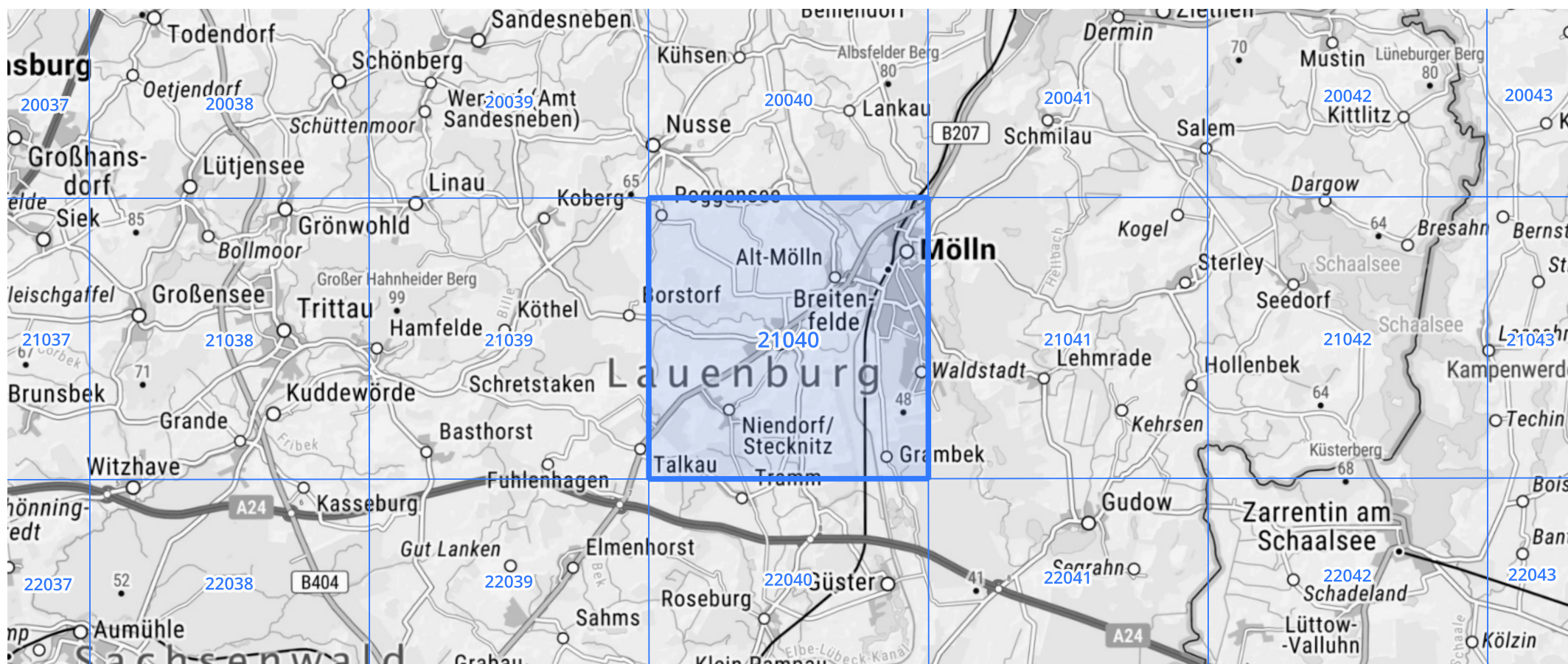
Auswertungszeitraum von 1951 - 2010, Januar - Dezember

Rasterfeld: 21040

Zeile: 21

Spalte: 40

Seite: 2/2



Quelle Rasterdaten: KOSTRA-DWD-2010R des Deutschen Wetterdienstes.

Kartendarstellung: © Bundesamt für Kartographie und Geodäsie (2022), Datenquellen: https://sgx.geodatenzentrum.de/web_public/gdz/datenquellen/Datenquellen_TopPlusOpen.html

Für die Richtigkeit und Aktualität der Angaben wird keine Gewähr übernommen. Erstellt 07/2022.